

01; 05.4; 11

(C) 1991

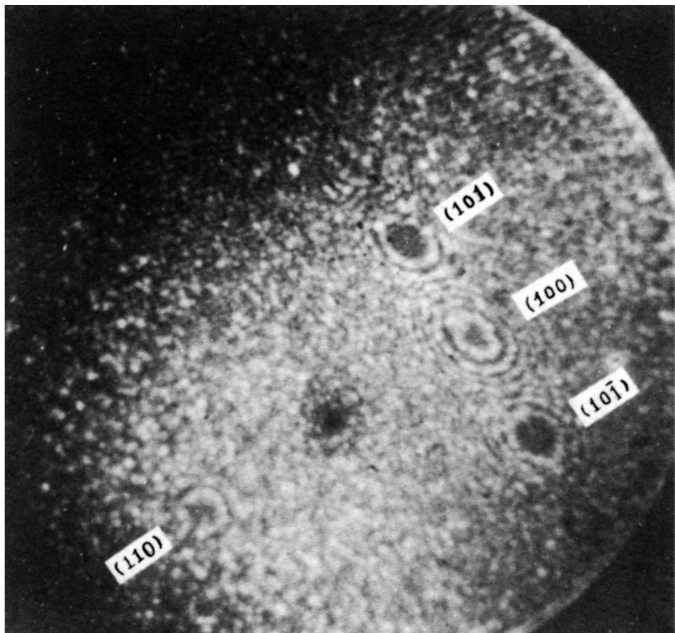
РАСЧЕТ ЛОКАЛЬНОГО РАДИУСА КРИВИЗНЫ  
ПОВЕРХНОСТИ ВЕРШИНЫ ОСТРИЯ  $RBa_2Cu_3O_{7-x}$

Е.Ф. Таланцев, В.А. Ивченко,  
Н.Н. Сюткин

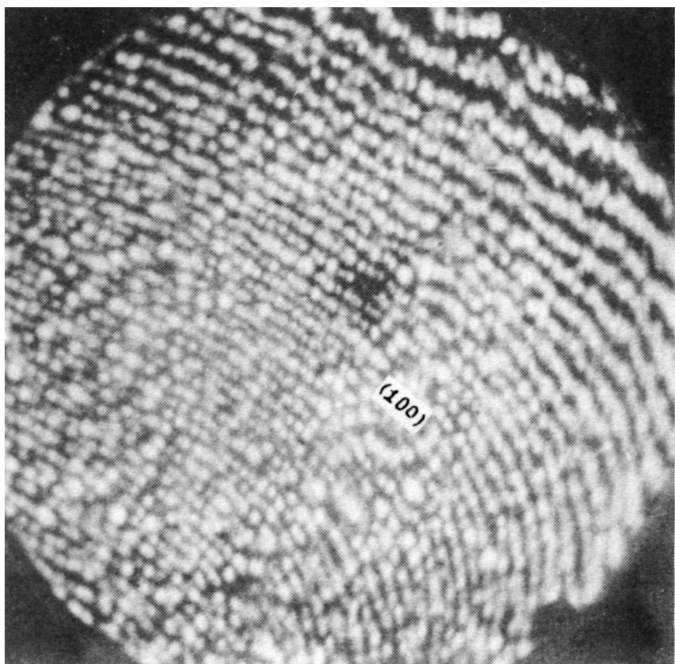
Обработка экспериментальных данных, полученных при исследовании полевой эмиссии электронов из высокотемпературных сверхпроводников, связана, в частности, с определением основного независимого параметра – напряженности электростатического поля Е на эмиттирующей поверхности. Искомую напряженность поля Е можно рассчитать численно [1], однако для этого необходима информация об основных геометрических параметрах эмиттера – локальном радиусе кривизны поверхности вершины остряя, угле раствора конуса при вершине и т.д. Несмотря на то, что профиль об разца-острия достаточно хорошо регистрируется в просвечивающем электронном микроскопе, локальный радиус закругления вершины эмиттера с достаточной точностью можно определить только по ионным микрокартинам изучаемого кристалла [2].

Стандартный метод вычисления локальных радиусов кривизны вершины эмиттера основывается на рассмотрении краев плоских атомных дисков как горизонталей на рельефной карте вершины остряя [2]. Использование указанной методики для расчета радиуса кривизны эмиттеров из высокотемпературных сверхпроводников связано со значительными трудностями, которые обусловлены спецификой ионного контраста  $RBa_2Cu_3O_{7-x}$ . Высокая тетрагональность элементарной ячейки ВТСП обуславливает сильное различие в морфологическом развитии граней на ионных микрокартинах, при этом количество визуализируемых граней крайне мало. В качестве примера (рис. 1, а) приведен ионный контраст полностью сформированного полевым испарением  $YBa_2Cu_3O_{7-x}$  (т.е. так называемая конечная форма (*end form*) остряного эмиттера). Отметим, что ионное изображение „*end form*“ чистых металлов [3], демонстрирует сотни граней. В зоне [010] наблюдается, как правило, не более трех граней (100), (101), (101) (рис. 1, а), причем у сформированных граней (101) можно различить не более двух-четырех колец плоских атомных дисков, что не позволяет

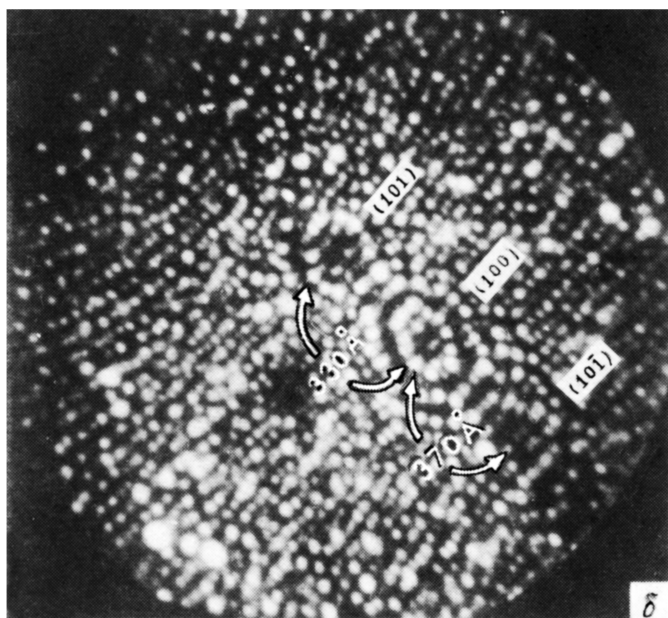
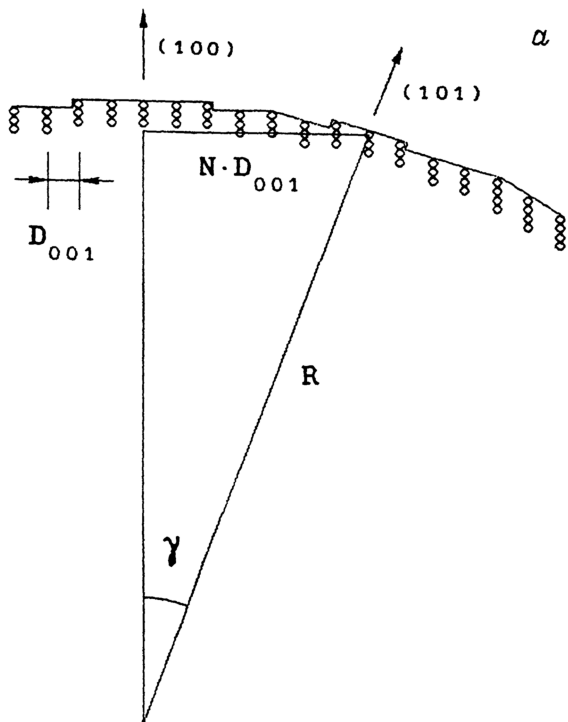
Рис. 1. Полевые ионные изображения ВТСП эмиттеров с индексами Миллера для морфологически развитых граней. а – „*end form*“  $YBa_2Cu_3O_{7-x}$  ( $V = 20$  кВ,  $T = 78$  К), б –  $YBa_2Cu_3O_{7-x}$  ( $V = 9$  кВ,  $T = 78$  К).



$\alpha$



$\delta$



Угол  $\gamma$  между кристаллографическими плоскостями (100) и (101) и коэффициенты  $\frac{D_{001}}{\sin(\gamma)}$  для расчета локального радиуса кривизны вершины острийного эмиттера  $RBa_2Cu_3O_{7-x}$

$(hkl)$	(101)	(102)	(103)	(101)	(102)	(103)
$\gamma$ (радиан)	0.320	0.586	0.784	0.320	0.586	0.784
$\frac{D_{001}}{\sin(\gamma)}$ ( $\text{\AA}$ )	37.1	21.2	16.6	37.1	21.2	16.6

воспользоваться стандартным методом расчета [2] для определения радиуса вершины эмиттера. При ориентации эмиттера  $RBa_2Cu_3O_{7-x}$  [001] на ионных микрокартинах визуализируется единственный морфологически развитый полюс, образованный пирамидальной стопкой иттриевых (или атомов редкоземельного элемента) плоскостей (001) [4]. Границы (100), (101) не регистрируются, так как угол  $\gamma$  между полюсами (001) и (101),  $\gamma > 60^\circ$ . В связи с этим, применение методики [2] для  $RBa_2Cu_3O_{7-x}$  не может быть эффективным.

Таким образом, цель настоящей работы состояла в разработке методики расчета локальных радиусов закругления вершины эмиттера  $RBa_2Cu_3O_{7-x}$  из полевых ионных изображений.

Как правило, ориентация острийного эмиттера  $RBa_2Cu_3O_{7-x}$  принадлежит зоне [001] (рис. 1), т.е. направление вектора элементарной трансляции  $\vec{c}$  перпендикулярно оси образца. Для типичных полевых ионных изображений  $RBa_2Cu_3O_{7-x}$  (рис. 1, б) характерно наличие полосчатого контраста, который образован пересечением базисных (001) иттриевых (или редкоземельного элемента) плоскостей с полусферической поверхностью вершины эмиттера. Так как межплоскостное расстояние  $D_{hkl}$  между иттриевыми плоскостями (001) известно [5], естественно рассматривать эти плоскости как вертикальные срезы на рельефной карте вершины острия. Отсюда для расчета локального радиуса  $r$  эмиттера достаточно подсчитать количество полосок контраста  $N$ , расположенных между центром грани (100) (полюсом (100)), наиболее морфологически развитой в данной зонной цепочке полюсов, и центром любой из сформированных граней (101) (полюсом (101)). Действ-

Рис. 2. Пояснительный чертеж к расчету локального радиуса кривизны поверхности вершины острия  $RBa_2Cu_3O_{7-x}$  (на схеме по-перечного среза вершины ВТСП катода изображена только подрешетка атомов  $R$ ) (а) и вычисленный локальный радиус кривизны на полевом ионном изображении эмиттера  $YBa_2Cu_3O_{7-x}$  (б) ( $V = 3 \text{ кВ}$ ,  $T = 78 \text{ К}$ ).

вительно (рис. 2, а), произведение  $N \cdot D_{001}$  является противолежащим катетом для известного угла  $\gamma$  между полюсом (100) и (101). Отсюда локальный радиус закругления вершины эмиттера дается соотношением:

$$r = \frac{D_{001}}{\sin(\gamma)} \cdot N.$$

Применение описанной методики к  $YBa_2Cu_3O_{7-x}$  демонстрируется на рис. 2, б.

В таблице приведены коэффициенты  $\frac{D_{001}}{\sin(\gamma)}$ , которые удобно использовать при практических расчетах локального радиуса кривизны поверхности вершины остряя  $RBa_2Cu_3O_{7-x}$ .

Таким образом, в данной работе предложена методика расчета локального радиуса закругления вершины острых эмиттеров  $RBa_2Cu_3O_{7-x}$ .

Настоящая работа выполнялась в рамках проекта № 90179 ГКНТ СССР.

#### Список литературы

- [1] Smith P.J., Smith D.A. // Phil. Mag. 1970. V. 21. N 173. P. 907-919.
- [2] Drechsler M., Wolff P. In. Proc. IV Intern. Congr. Electron Microscopy. Berlin, 1958, Springer-Verlag, Berlin, 1960. V. 1. P. 835.
- [3] Мюллер Э.В. // УФН. 1962. Т. 77. В. 3. С. 481-552.
- [4] Messyats G.A. et al. // J. de Phys. 1988. V. 49-C6. P. 477-481.
- [5] Darlington C.N.W. et al. // J. Crystals Growth. 1988. V. 91. P. 308-311.

Поступило в Редакцию  
7 июля 1991 г.